

SOCIEDADE  
PORTUGUESA  
BIOMECANICA

5th Portuguese Congress on  
**Biomechanics**

Espinho - Portugal | 8th-9th, February 2013



ATAS DO  
5º CONGRESSO NACIONAL DE BIOMECÂNICA  
*PROCEEDINGS OF THE  
5TH PORTUGUESE CONGRESS ON BIOMECHANICS*



COMISSÃO ORGANIZADORA / *ORGANIZING COMMITTEE*

Renato M. Natal Jorge, FEUP  
João Manuel R.S. Tavares, FEUP  
Jorge Américo de Oliveira Pinto Belinha, IDMEC-FEUP  
Marco Paulo Lages Parente, IDMEC-FEUP  
Pedro Alexandre Lopes de Sousa Martins, IDMEC-FEUP

PATROCÍNIOS E APOIOS INSTITUCIONAIS / *SPONSORSHIP AND INSTITUTIONAL SUPPORT*



## COMISSÃO CIENTÍFICA / *SCIENTIFIC COMMITTEE*

Adélia Sequeira, IST-UTL  
António Completo, Univ de Aveiro  
António Silva, UTAD  
António Torres Marques, FEUP  
António Veloso, FMH-UTL  
Arcelina Marques, ISEP-IPP  
Aurélio Faria, UBI  
Cristina Mateo Martinez, IDMEC  
Eduardo Borges Pires, IST-UTL  
Elza Fonseca, IPB  
Fernanda Gentil, IDMEC, ESTSP-IPP  
Fernando Simões, IST-UTL  
Filipa Manuel Machado Sousa, FADEUP-UP  
Gilberto Costa, FMUP-UP  
Helena Moreira, UTAD  
João Folgado, IST-UTL  
João Levy Melancia, FML-Univ Lisboa  
João MCS Abrantes, Univ Lusófona  
João Paço, Hospital CUF, FML-Univ Lisboa  
João Paulo Flores Fernandes, Univ Minho  
João Paulo Vilas-Boas, FADEUP-UP  
João Santos Baptista, FEUP-UP  
Joaquim Silva Gomes, FEUP-UP  
Jorge Ambrósio, IST-UTL  
José Alberto Ramos Duarte, FADEUP-UP  
José Carlos Reis Campos, FMDUP-UP  
José Manuel Casanova, FM-Univ Coimbra  
José Oliveira Simões, Univ de Aveiro  
Kostas Gianikellis, Univ de Extremadura, Espanha  
Leandro Machado, FADEUP-UP  
Lídia Carvalho, Univ de Aveiro  
Luís Roseiro, ISEC-IPC  
Luisa Sousa, FEUP-UP  
Manuel Gutierres, FMUP-UP  
Mário Augusto Vaz, FEUP-UP  
Mario Forjaz Secca, FCT, Univ Nova de Lisboa  
Miguel Tavares da Silva, IST-UTL  
Miguel Velhote Correia, FEUP-UP  
Paulo Piloto, IPB  
Paulo Rui Fernandes, IST-UTL  
Ronaldo Calçada Dias Gabriel, UTAD  
Rui Barreiros Ruben, IPL  
Rui Lima, IPB  
Rui Miranda Guedes, FEUP-UP  
Santos Rubim, ESTSP-IPP

## ÍNDICE

ANÁLISE DO COMPORTAMENTO DA ACELERAÇÃO TIBIAL ASSOCIADO AO CENTRO DE PRESSÃO PLANTAR NO CHUTE DE JOGADORES DE FUTEBOL DE CAMPO. <i>SILVA, Marcelo Guimarães, HIRATA, Tamotsu</i> .....	1
THE ROLE OF POROELASTICITY ON THE BIOMECHANICS OF THE INTERVERTEBRAL DISC: A FINITE ELEMENT STUDY <i>André Castro, Paulo Flores, António Completo e J. L. Alves</i> .....	7
ESTUDO DO ESTÍMULO MECÂNICO EM CONSTRUÇÕES CELULARES DE AGAROSE <i>Joana Pereira, António Completo, António Ramos, Carlos Relvas e José Simões</i> .....	13
ARTICULAÇÃO RADIOCARPAL – ESTUDO NUMÉRICO DE UM MODELO ESPECÍFICO DE PACIENTE <i>Joana Pereira, António Completo, António Ramos, Carlos Relvas e José Simões</i> .....	17
SIMULAÇÃO NUMÉRICA DE UM DISPOSITIVO GERADOR DE PULSOS MECÂNICOS PAR A INDUÇÃO DO AUMENTO DA DENSIDADE ÓSSEA <i>A. I. Arroyave Guzmán e R. Gonzalez Lima</i> .....	23
ANÁLISE CINEMÁTICA DA MARCHA NO 3.º TRIMESTRE DE GRAVIDEZ E PÓS-PARTO <i>Marco Branco, Rita Santos Rocha, Liliana Aguiar, Filomena Vieira e António Veloso</i> .....	29
RELAÇÃO DAS FORÇAS REATIVAS DO APOIO DURANTE O CAMINHAR E A ATIVIDADE FÍSICA EM MULHERES PÓS-MENOPÁUSICAS <i>João P.C. Fonseca, Ronaldo E.C.D. Gabriel, João Manuel R. S. Tavares, Florbela R. Aragão, Adriana S. Leite, José Aurélio M. Faria e Maria Helena R. Moreira</i> .....	33
FORÇAS REATIVAS DO APOIO DURANTE O CAMINHAR E DENSIDADE MINERAL ÓSSEA DO CALCÂNEO EM MULHERES PÓS-MENOPÁUSICAS <i>Marisa Pereira, Ronaldo Gabriel, Florbela Aragão, João Fonseca, Adriana Leite, Aurélio Faria e Helena Moreira</i> .....	39
THE HARMONIC MODE OF THE LEG SPRING <i>Wangdo Kim, Antonio P. Veloso, Filípa João,</i> .....	45
BONE IMPLANT MANUFACTURE FROM LYOPHILIZED HUMAN BONE <i>F.A. Rojas, L.M. Bernal</i> .....	47
ESTUDO BIOMECÂNICO DO DIRECCIONAMENTO DAS FIBRAS DA CAMADA CENTRAL DA MEMBRANA TIMPÂNICA DO OUVIDO MÉDIO <i>Carolina Garbe, Fernanda Gentil, Carla Santos, Marco Parente, Renato Natal Jorge</i> .....	53
UTILIZAÇÃO DE TÉCNICA TERMOGRÁFICA, PARA DETERMINAÇÃO DE DESEQUILÍBRIOS MUSCULARES, DURANTE O TRANSPORTE DE LAPTOP EM MOCHILA SUPORTADA POR UM ÚNICO OMBRO <i>João Rocha, Luís Queijo e Jorge Santos</i> .....	59
COMPORTAMENTO BIOMECÂNICO E ANÁLISE DE RESISTÊNCIA MECÂNICA DE VIDA ÚTIL DE ELEMENTOS ESTRUTURAIS PARA PRÓTESES DENTÁRIAS <i>Cincio, R. L., Pastoukbov, V.</i> .....	63
FROM MACRO TO SUBDOMAIN MODELLING AND NUMERICAL SIMULATION OF THE BIOMECHANICAL BEHAVIOUR OF NATIVE CARTILAGE <i>S. Cortez, A. Completo e J.L. Alve</i> .....	67
CONTRIBUIÇÃO DOS MOMENTOS DE FORÇA DO MEMBRO INFERIOR NO SALTO UNILATERAL (HOPPING) <i>Filípa João, António Veloso, Sílvia Cabral, Vera Moniz-Pereira e Thomas Kepple</i> .....	73

MECANISMOS DE ORIENTAÇÃO E DE BLOQUEIO PARA ANDARILHOS COM RODAS <i>Ana Fartaria, Carlos Campos e Jorge Siopa</i> .....	79
INFLUÊNCIA DO POSICIONAMENTO NA QUALIDADE DOS MOVIMENTOS DE ALCANÇAR E TRANSPORTAR EM INDIVÍDUOS COM ESCLEROSE MÚLTIPLA <i>Ana Pereira, Ângela Fernandes, Helena Sousa, Rubim Santos</i> .....	85
AVALIAÇÃO POSTURAL POR FOTOGAMETRIA EM ATLETAS DA JUVENTUDE VIDIGALENSE <i>Inês Domingues, Carlos Campos e Jorge Siopa</i> .....	91
INFLUÊNCIA DE MODELOS CINEMÁTICOS NOS MOMENTOS DE FORÇA DOS MEMBROS INFERIORES GERADOS POR IDOSOS DURANTE A LOCOMOÇÃO <i>Vera Moniz-Pereira, Sílvia Cabral, Filomena Carnide e António P. Veloso</i> .....	97
ANÁLISE DE COMPONENTES ACETABULARES COM ABAS <i>Rui B. Ruben, Diogo Teixeira e Nuno M. Alves</i> .....	103
SEGMENTAÇÃO DO FÉMUR COM RECURSO A CONTORNOS ACTIVOS PARA APOIO À ARTROPLASTIA TOTAL DA ANCA <i>Diogo Ferreira de Almeida, Rui B. Ruben, João Folgado e Paulo R. Fernandes</i> .....	107
DESENVOLVIMENTO DE UM SIMULADOR DA ARTICULAÇÃO TEMPOROMANDIBULAR <i>R. J. Duarte, A. Ramos, M. Mesnard, H. R. Marques, C. Relvas, A. Completo, J.A. Simões</i> .....	113
ESTUDO NUMÉRICO DA FIXAÇÃO DE IMPLANTE TEMPOROMANDIBULAR, INFLUÊNCIA DO NÚMERO DE PARAFUSOS <i>R. J. Duarte, A. Ramos, M. Mesnard, C. Relvas, A. Completo, J.A. Simões</i> .....	117
A INFLUÊNCIA DE UM CAMPO MAGNÉTICO ESTÁTICO NO ESCOAMENTO SANGUÍNEO COM NANOPARTÍCULAS MAGNÉTICAS <i>N. Pereira, M. Mujika, S. Arana, T. Correia, A. M. T. Silva, H. T. Gomes, P. J. Rodrigues, R. Lima</i> .....	123
A NOVEL METHODOLOGY FOR MEASUREMENT OF THE INTRADISCAL PRESSURE AND HEIGHT DISC VARIATION OF INTERVERTEBRAL DISC UNDER COMPRESSION <i>Ângelo Araújo; Nuno Peixinho, António Pinho &amp; J.C.P. Claro</i> .....	129
EFFECT OF THE SINTERING CYCLE ON THE PROPERTIES OF ALUMINA/LAS DENTAL CERAMIC <i>M. Guedes, D. Arteiro, M. I. Delgado and A. C. Ferro</i> .....	135
METODOLOGIA PARA AVALIAÇÃO BIOMECÂNICA DA COLUNA VERTEBRAL PRÉ E PÓS VERTEBROPLASTIA <i>Gabriela Guevara, Elza M. M. Fonseca e Luísa M. S. Barreira</i> .....	141
MÉTODO DE OTIMIZAÇÃO GLOBAL NO ESTUDO DA CINEMÁTICA DA MARCHA NA MULHER GRÁVIDA <i>Liliana Aguiar, António P. Veloso, Rita Santos-Rocha, Marco Branco e Filomena Vieira</i> .....	147
REMODELAÇÃO DO TECIDO ÓSSEO DO OSSO DA MANDÍBULA UTILIZANDO UM MÉTODO NUMÉRICO SEM MALHA <i>J. Belinba, L.M.J.S. Dinis e R.M. Natal Jorge</i> .....	153
ANÁLISE DO INCISIVO CENTRAL DO MAXILAR USANDO UM MÉTODO SEM MALHA <i>S.F. Moreira, J. Belinba, L.M.J.S. Dinis e R.M. Natal Jorge</i> .....	159
ANÁLISE DE UM IMPLANTE DENTÁRIO UTILIZANDO UM MÉTODO SEM MALHA <i>J. Rafael Andrade, J. Belinba, L.M.J.S. Dinis e R.M. Natal Jorge</i> .....	165
REMODELAÇÃO NUMÉRICA DO TECIDO ÓSSEO DEVIDO À APLICAÇÃO DE IMPLANTES DENTÁRIOS <i>A.S. Ferreira, J. Belinba, L.M.J.S. Dinis e R.M. Natal Jorge</i> .....	171

BLOOD FLOW STUDY IN A STENOSED CAROTID BIFURCATION <i>Lúcia C. Sousa, Catarina F. Castro, Carlos C. António, Rui Chaves, Rosa Santos, Pedro Castro and Elsa Azevedo</i> .....	177
FROM MEDICAL IMAGE TO 3D ENTITIES CREATION <i>Diogo, S G; Claro, J C P</i> .....	181
VARIAÇÃO DA DENSIDADE MINERAL ÓSSEA EM FUNÇÃO DA MASSA CORPORAL NO COLO DO FÊMUR E COLUNA VERTEBRAL <i>Jairson C. Dinis, Ana I. Pereira, Elza M. M. Fonseca</i> .....	187
DETECÇÃO E CLASSIFICAÇÃO DE POSTURAS, CONFORME A METODOLOGIA OWAS, USANDO CÂMERAS DE PROFUNDIDADE <i>Karoline Viana Leão, Anselmo Cardoso de Paiva, Aristófanés Correa Silva e Ivana Marcia Oliveira Maia</i> .....	193
EFEITO DE UM PROGRAMA DE EXERCÍCIOS SEGUNDO PILATES EM INDIVÍDUOS COM ASMA CONTROLADA – CONTROLO MOTOR/FUNÇÃO VENTILATÓRIA <i>António Mesquita Montes, Paulo Carvalho, Daniel Costa, Camilo Moreira, Pedro Monteiro e Manuel Rubim Santos</i> .....	197
AUXILIARES DE MARCHA E FORÇAS DE REACÇÃO AO SOLO <i>C. Melo, C. Crasto, A. Montes e R. Santos</i> .....	205
A INFLUÊNCIA DA IMOBILIZAÇÃO DO JOELHO NA CINEMÁTICA DO MEMBRO CONTRALATERAL <i>Mariana Santos, Alexandre Lopes, Inês Mesquita e Carlos Crasto</i> .....	211
METODOLOGIA PARA DETERMINAÇÃO DA NECROSE TÉRMICA POR FURAÇÃO NUM MODELO 3D DE UMA MANDÍBULA HUMANA <i>Diana C. A. Monteiro, Elza M. M. Fonseca, Luísa M. S. Barreira, Kelly Magalhães</i> .....	217
AVALIAÇÃO DA RESISTÊNCIA ÓSSEA DA VÉRTEBRA L3 EM DIFERENTES PACIENTES DO GÉNERO FEMININO <i>Sónia F. D. Silva, Elza M. M. Fonseca e Luísa M. S. Barreira</i> .....	223
INFLUÊNCIA DA VELOCIDADE DE PENETRAÇÃO NO LIMAR DA DOR À COMPRESSÃO <i>Micaela Rodrigues, Vera Bernardo, Paula Silva and Célio Figueiredo-Pina</i> .....	229
ESTIMATION OF CADAVERIC RIGIDITY – MODIFICATIONS OF THE MECHANICAL PROPERTIES <i>F. Ferreira, P. Martins e R.N. Jorge</i> .....	235
BIOMECHANICAL MODELS FOR HUMAN GAIT ANALYSES USING INVERSE DYNAMICS FORMULATION <i>Pedro Moreira, Urbano Lujrís, Javier Cuadrado, Paulo Flores</i> .....	241
ESTUDO CASO DA EFICIÊNCIA MECÂNICA NA EXECUÇÃO DO TOQUE AO LADO, DA GINÁSTICA AERÓBICA, NUM PRATICANTE INEXPERIENTE <i>Cristiana Mercê, Andreia Raposo, Carolyne Silva, Lílíana Faúlba, Ana Conceição, Hugo Louro, Vítor Milbeiro e Marco Branco</i> .....	247
FINITE ELEMENT SIMULATION OF DAILY ACTIVITIES HELD BY THE INTERVERTEBRAL DISC <i>Hélder Correia, André Castro, J.C.P. Claro e J.L. Alves</i> .....	253
ARTICULAÇÃO DA ANCA: MODELO BIOMECÂNICO BASEADO NA ANATOMIA ESPECÍFICA DO PACIENTE <i>D.G. Tavares, J. Lourenço, F.M.F. Simões, E.B. Pires e P.A. Rego</i> .....	259
MODELLING OF A PROSTHETIC HAND FEATURING INDIVIDUAL GRIP ON EACH ONE OF THE FIVE FINGERS <i>Joana Rosa, Joana Sousa and R. Baptista</i> .....	265
VALIDAÇÃO DE ELÉTRODOS TÊXTEIS PARA MEDIÇÃO DE ELETROMIOGRAFIA <i>Pedro Fonseca, Márcio Borgonovo-Santos, André Catarino, João Paulo Vilas-Boas, Miguel Velbote Correia</i> .....	271

ANÁLISE CINEMÁTICA 3D DA TÉCNICA FOSBURY FLOP <i>Paulo Oliveira, Rui B. Ruben e Pedro Morouço</i> .....	277
LOWER LIMB KINEMATICS OF TRANSFEMORAL AMPUTEES' GAIT: A PRINCIPAL COMPONENT ANALYSIS APPROACH <i>Denise Soares, Marcelo Castro, Emilia Mendes and Leandro Machado</i> .....	281
UNDERSTANDING THE ROLE OF THE ANNULUS FIBROSUS IN THE BIOMECHANICS OF THE INTERVERTEBRAL DISC <i>Clara Cavalcanti, J. L. Alves</i> .....	285
OFF INFLUENCES THE NUMBER OF MICROTUBULES AT THE BASE OF PRIMARY CILIA <i>Lina C. Espinha, David A. Hoey, Paulo R. Fernandes, Hélder C. Rodrigues e Christopher R. Jacobs</i> .....	291
ANÁLISE AO DESEMPENHO DE ATLETAS NO LANÇAMENTO DO DARDO <i>Diogo Correia, João Matias, Nuno André, Paulo A. P. Gameiro e Rui B. Ruben</i> .....	295
FABRICAÇÃO DE MICROCANAIS UTILIZANDO O MÉTODO DE XUROGRAFIA: VISUALIZAÇÃO DA CAMADA LIVRE DE CÉLULAS <i>E. Pinto, D. Pinho, D. Bento, T. Correia, V. Garcia, R. Dias, J. M. Miranda, R. Lima</i> .....	301
ESTIMAÇÃO E ANÁLISE AUTOMÁTICA DE PARÂMETROS DA POSTURA ERGONÔMICA UTILIZANDO SENSORES DE PROFUNDIDADE <i>Darlan Quintanilha, Aristóфанes Silva e Anselmo Paiva</i> .....	307
ANÁLISE BIOMECÂNICA DAS FRATURAS DO FÉMUR: ESTUDO PRELIMINAR DE UMA HASTE INTRAMEDULAR BLOQUEADA <i>Maria G. A. Fernandes, Daniel N. Rocha, Jorge V. L. Silva, Elza M. M. Fonseca, Marcos P. Barbosa</i> .....	313
TRANSFEMORAL AMPUTEES' GAIT: PRINCIPAL COMPONENT ANALYSIS OF THE KNEE MOMENTS <i>Denise Soares, Marcelo Castro, Emilia Mendes and Leandro Machado</i> .....	319
DESENVOLVIMENTO DE PLATAFORMAS DE FORÇAS EXTENSOMÉTRICAS SUBAQUÁTICAS PARA APLICAÇÃO EM NATAÇÃO DESPORTIVA <i>Karla de Jesus, Hélio Roesler, Kelly de Jesus, Luis Mourão, Ricardo J. Fernandes, Mário Vaz, João Paulo Vilas-Boas</i> .....	323
DESENVOLVIMENTO DE METODOLOGIA PARA AVALIAÇÃO DA MARCHA EM DOENTES COM ORTÓTESES TORNOZELO-PÉ <i>C. Pessoa, F. Martins, I. Fonseca, L. Roseiro, A. Almeida F. Carvalho</i> .....	329
ANÁLISE DO COMPORTAMENTO MECÂNICO DOS DISCOS INTERVERTEBRAIS DA REGIÃO LOMBAR QUANDO SUJEITOS A CARGAS VERTICAIS <i>Bebiana Mendonça, João Ribeiro, Mário Vaz e H. Lopes</i> .....	335
MEASUREMENT OF RED BLOOD CELLS DEFORMATION INDEX IN A HYPERBOLIC MICROCHANNEL <i>Vera Faustino, Diana Pinho, Tomoko Yaginuma, Ricardo C. Calbelha, Geyong Man-Kim, Sergio Arana, Rui Lima, Isabel C.F.R. Ferreira and Mónica S.N. Oliveira</i> .....	341
PESQUISA DA CONFIGURAÇÃO ÓTIMA DA PRÓTESE ARTERIAL USANDO ALGORITMOS GENÉTICOS <i>Linda V. S. Alves, Catarina F. Castro e Luísa C. Sousa</i> .....	345
DEVELOPMENT OF AN EXPERIMENTAL APPARATUS TO DETERMINE IMPACT RESPONSE OF ARTICULAR CARTILAGE <i>Janeite Alves, Pedro Correia, Nuno Peixinho e Paulo Flores</i> .....	349
AVALIAÇÃO DAS ALTERAÇÕES FISIOLÓGICAS DE VÁRIOS MÚSCULOS DA PERNA QUANDO SUBMETIDOS A EXERCÍCIO FÍSICO INTENSO COM A TÉCNICA BOLD <i>Ana Rita Justo Pereira, José Nuno Alves, Sérgio Saraiva Alves, Filipa João, Mário Forjaz Secca e António Veloso</i> .....	355

CELL-FREE LAYER MEASUREMENTS IN A BIFURCATION MICROCHANNEL: COMPARISON BETWEEN A MANUAL AND AUTOMATIC METHODS <i>David Bento, Diana Pinbo, Elmano Pinto, Tomoko Yaginuma, Teresa Correia, José Lima, Ana I. Pereira, Carla S. Fernandes, Ricardo Dias, Rui Lima</i> .....	359
AVALIAÇÃO DAS ALTERAÇÕES FISIOLÓGICAS DOS MÚSCULOS DA PERNA POR IRM ATRAVÉS DE T2 <i>José Nuno Alves, Ana Rita Justo Pereira, Sérgio Saraiva Alves, Filipa Oliveira João, Mário Forjaz Secca e António Prieto Veloso</i> .....	363
DISPOSITIVO PARA ENSAIO DE DESGASTE EM PRÓTESE TOTAL DE QUADRIL <i>Michel Haddad, Mauro Pedro Peres e Marcelino Pereira Nascimento</i> .....	367
FABRICO DE UMA PRÓTESE FEMORAL POR MAQUINAGEM CNC NUMA FRESADORA DE 3 EIXOS <i>Pedro Ferreira, Fernando Simões, Carlos Relvas e António Ramos</i> .....	371
ANÁLISE DE PONTE SOBRE IMPLANTES DENTÁRIOS USANDO UM MÉTODO SEM MALHA <i>H.M.S. Duarte, J. Belinha, L.M.J.S. Dinis e R.M. Natal Jorge</i> .....	377
ESTUDO DAS PROPRIEDADES MECÂNICAS DO CIMENTO-EM-CIMENTO NA REVISÃO DA ARTROPLASTIA DA ANCA <i>Nuno Jorge, Luís Roseiro, Fernando Simões e Pedro Carvalhais</i> .....	379
ENHANCED VELOCITY OF RED BLOOD CELLS IN HIGHLY BRANCHED VESSELS: INFLUENCE OF THE VESSELS DIAMETER <i>Bianca Pires, Luís Pimparel, Diana Pinbo, Rui Lima and Ricardo Dias</i> .....	385
DESENVOLVIMENTO E VALIDAÇÃO EXPERIMENTAL DE UMA PRÓTESE PARA CICLISTAS COM AMPUTAÇÃO TRANSTIBIAL <i>P. Ferreira, L. Roseiro, V. Lopes, I. Costa, J. Almeida e Telmo Pinão</i> .....	391
BIOMECÂNICA DA COLUNA CERVICAL: INFLUÊNCIA DOS LIGAMENTOS <i>P. C. Fernandes, J. Folgado e P. R. Fernandes</i> .....	397
AUTOMATIC CALCULATION OF THE SKIN'S LINES OF NON-EXTENSION AT THE ANKLE JOINT <i>Sara P. Marreiros, Ana R. Domingues, Jorge M. Martins, Miguel T. Silva and Dava J. Newman</i> .....	401
DESENVOLVIMENTO DE UM MICRODISPOSITIVO BIOMÉDICO PARA A SEPARAÇÃO DE CÉLULAS SANGUÍNEAS <i>Susana Novais, Diana Pinbo, Ana I. Pereira, Maite Mujika, Sergio Arana, Rui Lima</i> .....	407
THERMO-MECHANICAL BEHAVIOR OF TRANSTIBIAL PROSTHESIS INTERFACES: INFLUENCE ON CORRECT PROSTHETIZATION <i>Adriana Cavaco, A. Ramalho, Sandra Pais and Luísa Durães</i> .....	411
COMPARAÇÃO DE CRIANÇAS COM E SEM JOELHOS VALGOS, PRATICANTES DE HÓQUEI EM PATINS, UTILIZANDO SISTEMAS DE ANÁLISE DE MOVIMENTO <i>Nuno M.J. Oliveira, Rubim Santos, M.A.P. Vaz e M.A. Marques</i> .....	417
MODELING AND ANALYSIS OF AN ANKLE-FOOT ORTHOSIS (AFO) USING MULTIBODY METHODOLOGIES <i>P. Ferreira, F. G. Flores, P. Flores, M. Siebler and A. Kecskeméthy</i> .....	423
ANÁLISE CINEMÁTICA DA TÉCNICA DE CRAWL EM DIFERENTES VARIANTES DE UM PROTOCOLO INCREMENTAL E INTERMITENTE PARA OBTENÇÃO DO VO2MÁX <i>Kelly de Jesus, Karla de Jesus, João Paulo Vilas-Boas e Ricardo J. Fernandes</i> .....	429
PROJETO, CONSTRUÇÃO E VALIDAÇÃO EXPERIMENTAL DE UM PEDAL INSTRUMENTADO PARA BICICLETA <i>Vítor Lopes, Luís Roseiro, Pedro Ferreira, Inácio Costa e José Almeida</i> .....	435

CONSIDERAÇÕES HIDRODINÂMICAS DE VÁLVULAS NEUROLÓGICAS DE DERIVAÇÃO LIQUÓRICA <i>Camila Bim, Edson Del Rio Vieira, Sérgio Said Mansur, Marcos Pinotti, José Ricardo Camilo e Angelo Luiz Maset</i> .....	441
IMAGE FILTERING, CONTRAST ENHANCEMENT AND DEFORMATION ANALYSIS OF COMPLEX ANATOMICAL CONDUITS AND MICROCIRCULATION EXPERIMENTS. <i>Ana J. João, Alberto M. Gambaruto e Adélia Sequeira</i> .....	445
ÚLTIMOS AVANÇOS TECNOLÓGICOS DA ESTIMULAÇÃO ELÉCTRICA FUNCIONAL NA MARCHA <i>Cátia Galvão, Carlos Vasconcelos, Jorge Martins, Miguel Silva, Paulo Melo</i> .....	451
CONTROL OF A FORCE SENSING ACTUATOR TO ASSIST THE ANKLE JOINT MOVEMENT <i>Carlos F. Vasconcelos, Paulo L. Melo, Jorge M. Martins and Miguel T. Silva</i> .....	457
ANÁLISE CINEMÁTICA DO PUTTING EM JOGADORES PERITOS: ESTUDO DO EFEITO DO AFASTAMENTO DA BOLA AO BURACO <i>Gonçalo Dias, Rui Mendes, Maria António Castro, Micael Conceiro, Orlando Fernandes, João Paulo Vilas-Boas</i> .....	463
PLATAFORMA ELECTROMECASTRÓNICA PARA EXERCÍCIOS FISIOTERAPÊUTICOS DE ELEVADA PRECISÃO <i>Ana L. G. Fernandes<sup>1</sup>, Fernando J. T. E. Ferreira e Miguel Couceiro</i> .....	467
AVALIAÇÃO DO EFEITO DO EXERCÍCIO INTENSO NA ESTRUTURA E ARQUITECTURA DE VÁRIOS MÚSCULOS DA PERNA ATRAVÉS DE TENSORES DE DIFUSÃO EM RESSONÂNCIA MAGNÉTICA <i>Sérgio Saraiva Alves, Ana Rita Justo Pereira, José Nuno Alves, Filipa João, Mário Forjaz Secca e António Veloso</i> .....	471
GESTURE'S NARRATIVE IN CONTEMPORARY MUSIC FOR PERCUSSION: A PRELIMINARY RESEARCH. <i>Aroso N., Baltazar A., Lourenço S., Martins L.G., Ferreira Lopes P.</i> .....	475
OPTIMIZAÇÃO DE FORMA MULTI-OBJECTIVO DE UM STENT CORONÁRIO <i>Nelson Ribeiro, João Folgado e Hélder Rodrigues</i> .....	481
REMODELAÇÃO ÓSSEA DA OMOPLATA APÓS UMA ARTROPLASTIA TOTAL DO OMBRO <i>Carlos Quental, João Folgado, Paulo Fernandes e Jacinto Monteiro<sup>4</sup></i> .....	487
ANÁLISE DO ÂNGULO DE PENACÃO DO GASTROCNÉMIO NUMA POPULAÇÃO JOVEM SEDENTÁRIA E ATIVA. <i>Maria António Castro, Alexandra André, Margarida Pocinbo, Paula Tavares, Orlando Fernandes</i> .....	491
INFLUÊNCIA DA POSIÇÃO DO ATLETA NA BICICLETA NA DISTRIBUIÇÃO DO PESO CORPORAL PELO SELIM E PELO GUIADOR EM CICLISTAS NÃO COMPETITIVOS <i>Vítor Milbeiro; Hugo Louro; Marco Branco; Ana Conceição</i> .....	497
FIBER OPTIC SENSORS FOR BIOMECHANICAL AND BIOMEDICAL APPLICATIONS <i>Paulo Roriz, Orlando Frazão, José Luís Santos and José Simões</i> .....	503
IS THE CALLUS SHAPE AN OPTIMAL RESPONSE TO A MECHANOBIOLOGICAL STIMULUS? <i>F. Ribeiro, P.R. Fernandes, J. Folgado, J.M. García-Aznar</i> .....	509
MARCHA DO OBESO: RESULTADOS DA AVALIAÇÃO DAS FORÇAS DE REACÇÃO DO SOLO ANTES E APÓS CIRURGIA BARIÁTRICA. <i>Mafalda Cortez, Marcelo P. Castro, Sofia Abreu, Maria João Matos, Paula Freitas, Davide Carvalho, Leandro Machado</i> .....	515
DESENVOLVIMENTO DE CORDAS BIODEGRADÁVEIS EM PDO PARA REGENERAÇÃO DE LIGAMENTOS <i>André C. Vieira, Joana C. Vieira, Juliana Cruz, Raul Figueiro e Rui M. Guedes</i> .....	517
DETERMINAÇÃO DA PERMEABILIDADE DE SCAFFOLDS PARA ENGENHARIA DO TECIDO ÓSSEO UTILIZANDO DFC <i>Rubina Marques, Marta Dias, José Miranda Guedes e Paulo Fernandes</i> .....	523

HIDROGÉIS BASEADOS EM ALGINATO PARA A REGENERAÇÃO DE PELE <i>Rúben F. Pereira, Ausenda Mendes e Paulo J. Bártolo</i> .....	529
THE ELASTIC PROPERTIES OF THE BREAST SKIN <i>Nílza Ramião, Pedro Martins e António Fernandes</i> .....	535
ANÁLISE DE TENSÕES NO TORNOZELO ANTES E APÓS UMA ARTROPLASTIA TOTAL <i>Daniela Rodrigues, João Folgado e Paulo Fernandes</i> .....	541
ANÁLISE DAS PROPRIEDADES BIOMECÂNICAS DO PAVIMENTO PÉLVICO E DO FETO <i>M.E.T. Silva, M.P.L. Parente, R.M. Natal Jorge, T. Mascarenbas, A.A. Fernandes</i> .....	547
NUMERICAL STUDY OF THE FLOW OF A BLOOD ANALOG FLUID IN A BIFURCATION WITH A STENOSIS: PULSATILE FLOW AND ELASTICITY OF THE FLUID <i>S.I.S. Pinto, E.D. Costa, J.B.L.M. Campos, J.M. Miranda</i> .....	553
DISTRIBUIÇÃO DAS FIBRAS MUSCULARES DO PAVIMENTOS PÉLVICO: COMPARAÇÃO ENTRE TRATOGRAFIA E MODELO DE ELEMENTOS FINITOS <i>Sofia Brandão, Marco Parente, Thuane Roza, Hugo Ferreira, Teresa Mascarenbas, Isabel Ramos, Renato Natal Jorge</i> .....	559
INFLUÊNCIA DA IDADE NA MOBILIDADE DO PAVIMENTO PÉLVICO EM MULHERES COM INCONTINÊNCIA URINÁRIA DE ESFORÇO <i>Thuane Da Roza, Sofia Brandão, Teresa Mascarenbas, José Alberto Duarte, Marco Parente e Renato Natal Jorge</i> .....	565
COMPORTAMENTO BIOMECÂNICO DO PÉ TRAUMÁTICO PRÉ E PÓS ORTÓTESE PLANTAR <i>Rodrigues, F., Ramos, A., Duarte, R. J., Relvas, C., Completo, A., Simões, J. A.</i> .....	569
PRODUÇÃO DE MEMBRANAS DE ALGINATO DE SÓDIO CONTENDO LEVODOPA E SUA LIBERTAÇÃO CONTROLADA <i>Margarida Franco, Tânia Viana, Sara Biscaia e Paulo Bártolo</i> .....	571
SIMULAÇÃO NUMÉRICA DOS DANOS NOS MÚSCULOS DO PAVIMENTO PÉLVICO DURANTE UM PARTO VAGINAL <i>P. Maia, M.P.L. Parente, R.M. Natal Jorge, A.A. Fernandes</i> .....	577
FEMORAL NECK BONE ADAPTATION TO HABITUAL WEIGHT-BEARING PHYSICAL ACTIVITY BY COMPUTATIONAL ANALYSIS <i>M. M. Machado, P. R. Fernandes, G. Cardadeiro and F. Baptista</i> .....	581
DISPOSITIVO MECÂNICO PARA A PRÁTICA DE CICLISMO ADAPTADO COM COMPETIÇÃO EM CLASSE C2 <i>L. Roseiro, P. Ferreira, V. Lopes, I. Costa, J. Almeida e T. Pinão</i> .....	587
INFLUÊNCIA DA GEOMETRIA DO PARAFUSO NA TRANSFERÊNCIA DE CARGA NA PRÓTESE TMJ, ESTUDO NUMÉRICO <i>Ramos, A., Mesnard, M., Relvas, C., Completo, A., Simões, J. A.</i> .....	591
AVALIAÇÃO DA RESISTÊNCIA ENTRE ESTRUTURAS DE ZIRCONIA DE 3 MARCAS: VITA IN-CERAM YZ, SIRONA INCORIS ZI E IVOCLAR IPS EMPRESS CAD <i>Gonçalo Silva, Lúcia Carvalho</i> .....	597
ESTUDO MECÂNICO DE NANOCOMPÓSITOS PLA/GNP E COMPÓSITOS PLA/BIOVIDRO PARA DESENVOLVIMENTO DE DISPOSITIVO LIGAMENTAR <i>Viviana Correia Pinto, José Xavier, Artur Pinto, Fernão D. Magalhães, Rui Miranda Guedes</i> .....	601
MODELOS CONSTITUTIVOS HIPERELÁSTICOS PARA A MODELAÇÃO NUMÉRICA DO TECIDO MUSCULAR DO PAVIMENTO PÉLVICO <i>Dulce A. Oliveira, Marco P.L. Parente e Renato M. Natal Jorge</i> .....	607

METODOLOGIA PARA DETERMINAÇÃO DA ELEVAÇÃO DA TEMPERATURA POR CIMENTAÇÃO OU FURAÇÃO NUM MODELO DENTÁRIO <i>Kelly Magalhães, Elza M. M. Fonseca e Diana C. A. Monteiro</i> .....	613
SIMULAÇÃO NUMÉRICA DE ESTRUTURAS ÓSSEAS UTILIZANDO UMA FORMULAÇÃO ISOGEOMÉTRICA <i>R.P. Tavares, M.P.L. Parente, R.M. Natal Jorge, A.A. Fernandes</i> .....	619
DISTINÇÃO ENTRE INCIDÊNCIAS NUMA MAMOGRAFIA <i>Rita Filipa S. Teixeira e João Manuel R. S. Tavares</i> .....	62
DESENVOLVIMENTO DE UM SISTEMA DE ORIENTAÇÃO DINÂMICA PARA UM ACTUADOR FLUÍDICO FLEXÍVEL <i>Daniel Pina, Joaquim G. Mendes, Renato N. Jorge, António Augusto Fernandes, António Moreira</i> .....	631
ANÁLISE DA PRESSÃO PLANTAR EM ATLETAS (8-14 ANOS) EM FUNÇÃO DA CLASSE OCLUSAL MOLAR DE ANGLE <i>Marta América, Janete Leiras, Joaquim Moreira, Lídia Carvalho</i> .....	637
ANÁLISE BIOMECÂNICA DO PROTOCOLO – SALTO COM CONTRA MOVIMENTO <i>Paulo A. G. Piloto, Luísa M. S. Barreira</i> .....	643
ESTUDO DA INFLUÊNCIA DO POSICIONAMENTO DA BICICLETA NAS VIBRAÇÕES INDUZIDAS AO CORPO HUMANO EM PRÁTICA DE CICLISMO INDOOR <i>Paulo Dechichi, Leandro Furtado, Carlos Alcobia, Luís Roseiro e Ana Amaro</i> .....	649
TERMOGRAFIA INFRAVERMELHA EM ARTROPLASTIAS DO JOELHO <i>Carlos Alcobia, Luís Roseiro, Pedro Carbais, Augusta Neto</i> .....	655
ESTUDO NUMÉRICO DA INFLUÊNCIA DA RESOLUÇÃO DA TAC NO COMPORTAMENTO DO ÚMERO. UM CASO CLÍNICO. <i>Bola, M., Ramos, A., Rebas, C., Completo, A., Simões J.A.</i> .....	659
ANÁLISE VASCULAR DE SCAFFOLDS SOB DEGRADAÇÃO <i>Susana R. Almeida, Henrique A. Almeida e Paulo J. Bártolo</i> .....	665
DESENVOLVIMENTO DE UMA FERRAMENTA INTEGRADA PARA AVALIAÇÕES ERGONÓMICAS <i>Ana Catarina Mateus, Henrique A. Almeida e Nuno Alves</i> .....	669
APLICAÇÃO COMPUTACIONAL PARA AUXÍLIO À SELEÇÃO DE PRÓTESE PARA A ARTROPLASTIA DA ANCA <i>Pedro Carreira, Henrique A. Almeida e Paulo J. Bártolo</i> .....	675
TÉCNICAS DE EXTRUSÃO PARA PRODUÇÃO DE SCAFFOLDS PARA APLICAÇÕES EM ENGENHARIA DE TECIDOS <i>Sara Biscaia, Tânia Viana, Henrique A. Almeida e Paulo J. Bártolo</i> .....	681
3D COMPARISON BETWEEN MIMICS AND INVESALIOUS BONE RECONSTRUCTION MODELS <i>Ruba Zeibak, Dino Freitas, Henrique A. Almeida and Paulo J. Bártolo</i> .....	683
DEVELOPMENT OF A WALKING INTEGRATIVE REHABILITATION DEVICE <i>Manabu Okui, Dino Freitas, Henrique A. Almeida and Paulo J. Bártolo</i> .....	689
ANÁLISE ELETROMIOGRÁFICA TEMPORAL DOS MÚSCULOS DO TRONCO DURANTE O SWING COM DIFERENTES TACOS DE GOLFE <i>Luís Silva, Sérgio Marta, João Vaz, Orlando Fernandes, Maria António Castro, Andreia De Paula, Pedro Pezarat-Correia</i> .....	695
EXTRAÇÃO E CARACTERIZAÇÃO DO COLAGÉNIO DE ESCAMAS DE SARDINHA <i>Ermelinda Alves Almeida, Daniela C. Vaz e Ausenda L. A. Mendes</i> .....	701

REABILITAÇÃO VESTIBULAR EM SÍNDROMES VERTIGINOSAS ATRAVÉS DE SIMULAÇÃO EM ELEMENTOS FINITOS <i>Carla Santos, Fernanda Gentil, Carolina Garbe, Marco Parente, Renato Natal Jorge</i> .....	707
INFLUÊNCIA DAS FLANGES NAS PRÓTESES CIMENTADAS DA ARTICULAÇÃO DA ANCA <i>Ángela Pedrosa e Rui B. Ruben</i> .....	713
ANÁLISE DINÂMICA DO COMPORTAMENTO MECÂNICO DO OUVIDO MÉDIO COM PRÓTESE TOTAL <i>Fernanda Gentil, Marco Marques, Carolina Garbe, Carla Santos, Marco Parente, Pedro Martins, Renato Jorge</i> .....	719
CONTRIBUIÇÃO DOS MOMENTOS DE FORÇA DOS MEMBROS INFERIORES PARA A ACELERAÇÃO DO CENTRO DE MASSA NA PARTIDA DE BLOCOS <i>Sílvia Cabral, Vera Moniz-Pereira, Filipa João e António P. Veloso</i> .....	723
LIPOTOOL: ESTUDO DO COMPORTAMENTO DINÂMICO TECIDULAR <i>T. F. Andrade, M. T. Restivo, M. R. Quintas, M. F. Chouzal, C. M. Silva, T. M. Amaral</i> .....	729
ANALYSIS OF THE BILATERAL COORDINATION PATTERNS OF LOWER LIMB SEGMENTS AT DOWN SYNDROME IN RUNNING <i>Andreas Skiadopoulos, Carlos Espino Palma and Kostas Gianikellis</i> .....	733
3D KINEMATICS OF SURGEONS' UPPER-ARM ROTATION IN LAPAROSCOPY <i>Andreas Skiadopoulos, Carlos Espino Palma and Kostas Gianikellis</i> .....	737
"DINAMSOFT 1.0": A SOFTWARE FOR 3D BIOMECHANICAL ANALYSIS OF STANDARD FORCE TRAINING EXERCISES AND WEIGHT LIFTING <i>Kostas Gianikellis, Andreas Skiadopoulos, Jorge Barrios Muriel and Ignacio Domínguez</i> .....	741
CIMENTO ÓSSEO ACRÍLICO CONTENDO ANTIBIÓTICOS: AVALIAÇÃO DE PROPRIEDADES MECÂNICAS <i>Matos A, Vaz M., Almeida AJ, Bettencourt A</i> .....	745
ESTIMATING LEG MUSCLES SHORT-RANGE STIFFNESS IN VIVO AT DIFFERENT KNEE ANGLES <i>Ana C. V. Ferreira, Erwin de Vlugt, Jurriaan H. de Groot and Hugo A. Ferreira</i> .....	751
ANÁLISE DO MOVIMENTO DE LEVANTAR: ESTUDO DE CASO <i>Rita Proença, Clara Cavalcanti</i> .....	757
DESENVOLVIMENTO DE UMA CADEIRA DE RODAS MOTORIZADA DE BAIXO CUSTO <i>Samuel F. Do Nascimento, Keyll Carlos R. Martins, Vítor R. P. Santos e Lídia Santos P. Martins</i> .....	763
INFLUENCE OF RESTORATIVE TECHNIQUE ON THE FRACTURE RESISTANCE AND MODE, STRAIN, AND STRESS DISTRIBUTION OF ENDODONTICALLY TREATED MAXILLARY PREMOLARS. <i>Milito, Giovana A., Novais, Veridiana R., Noritomi, Pedro Y., Araújo, Cleudmar A., Gomide, Henner A., Fernandes Net, Alfredo J., Soares, Carlos J., Soares, Paulo V.</i> .....	769
INFLUENCE OF RESTORATIVE TECHNIQUE, CERVICAL LESION AND TYPE OF LOAD ON THE BIOMECHANICAL BEHAVIOR OF ENDODONTICALLY TREATED MAXILLARY PREMOLARS <i>Machado, Alexandre C., Pereira, Fabícia A., Reis, Bruno R., Milito, Giovana A., Zeola, Livia F., Meira, Josete B.C., Cesar, Paulo F., Soares, Paulo V.</i> .....	775
INFLUENCE OF NON-CARIOUS CERVICAL LESIONS MORPHOLOGY LOAD TYPE AND RESTORATION ON BIOMECHANICAL BEHAVIOR OF MAXILLARY PREMOLARS: A FINITE ELEMENT ANALYSIS. <i>Vilela, Ana L.R, Machado, Alexandre C., Milito, Giovana A., Zeola, Livia F., Faria, Vítor L.G., Naves, Marina F.L., Souza, Paola G., Soares, Paulo V.</i> .....	781

NON-CARIOUS CERVICAL LESIONS: INFLUENCE OF MORPHOLOGY AND LOAD TYPE ON BIOMECHANICAL BEHAVIOUR OF MAXILLARY INCISORS <i>Tolentino, Andrea B., Faria, Vitor L.G., Naves, Marina F.L., Michael, Jason A., Ranjitkar, Sarbin, Kaidonis, John, Townsend, Grant and Soares, Paulo V.</i> .....	787
INFLUENCE OF DENTAL CORONARY STRUCTURE REDUCTION ON BIOMECHANICAL BEHAVIOR OF UPPER PREMOLARS <i>Zeola, Livia F. , Santos-Filbo, Paulo C.F., Menezes, Murilo S., Novais, Veridiana R., Neves, Flávio D., Fernandes-Neto, Alfredo J., Soares, Carlos J., Soares, Paulo V.</i> .....	793
INFLUENCE OF ABFRACTION DEPTH, ROOT MORPHOLOGY AND LOADING ON THE MECHANICAL BEHAVIOR OF PREMOLARS <i>Naves, Marina F.L., Souza, Lorraine V., Pereira, Fabricia A., Reis, Bruno R., Machado, Alexandre C., Milito, Giovana A., Fernandes-Neto, Alfredo J., Soares, Paulo V.</i> .....	799
EFFECTS OF NCCL LESION SIZE AND LOADING CONDITIONS ON STRESSES AND STRAINS IN PREMOLAR TEETH <i>Souza, Paola G., Spini, Pedro H.R., Zeola, Livia F., Milito, Giovana A., Faria, Vitor L.G., Machado, Alexandre C., Pereira, Fabricia A., Soares, Paulo V.</i> .....	805
EFFECT OF NON-CARIOUS CERVICAL LESIONS AND CORONARY STRUCTURE LOSS ASSOCIATION ON BIOMECHANICAL BEHAVIOR OF MAXILLARY PREMOLARS. <i>Gonzaga, Ramon C.Q., Souza, Paola G., Tolentino, Andrea B., Zeola, Livia F., Milito, Giovana A., Machado, Alexandre C., Reis, Bruno R., Soares, Paulo V.</i> .....	811
INFLUENCE OF TYPE PREPARATION AND RESTORATIVE MATERIAL ON STRESS DISTRIBUTION IN PREMOLARS <i>Faria, Vitor L.G., Reis, Bruno R., Pereira, Fabricia A., Meira, Josete B.C., Souza, Paola G., Machado, Alexandre C., Quagliatto, Paulo S., Soares, Paulo V.</i> .....	817
MECHANICAL BEHAVIOUR OF THE PIP BREAST IMPLANTS UNDER COMPRESSION <i>Rita Rynkevici, Pedro Martins, Marco Parente, Maria Barroso, Diana Santos, Renato Natal</i> .....	823
ANÁLISE DO CAMPO DE DEFORMAÇÕES NOS LIGAMENTOS CRUZADOS DO JOELHO COM FORMULAÇÃO ISOGEOMÉTRICA <i>J.P.S. Ferreira, M.P.L. Parente, R.M. Natal Jorge e A.A. Fernandes</i> .....	829
ESTUDO BIOMECÂNICO DO ÚTERO DURANTE O PARTO <i>P. Rocha, M.P.L. Parente, R.M. Natal Jorge e T. Mascarenhas</i> .....	835
INFLUENCE ROOT MORPHOLOGY ON BIOMECHANICAL BEHAVIOR OF ENDODONTICALLY TREATED MAXILLARY PREMOLARS <i>P.V. Soares, M.S. Menezes, P.C.F. Santos-Filbo, P. Noritomi, C.J. Soares, A.J. Fernandes-Neto, L.R.M. Martins</i> .....	839
ON THE DEVELOPMENT OF ADVANCED METHODOLOGIES TO ASSIST ON THE DIAGNOSIS OF HUMAN ARTICULATIONS PATHOLOGIES: A BIOMECHANICAL APPROACH <i>Ana Leal, Filipe Silva, Paulo Flores, Hélder Pereira, João Espregueira-Mendes</i> .....	845
A PERSPECTIVE ON BONE-CEMENT INTERFACE LOOSENING IN HIP IMPLANTS <i>Natacha Rosa, António Torres Marques</i> .....	851

## ANÁLISE BIOMECÂNICA DO PROTOCOLO – SALTO COM CONTRA MOVIMENTO

Paulo A. G. Piloto<sup>1</sup>, Luísa M. S. Barreira<sup>2</sup>

<sup>1</sup> Instituto Politécnico de Bragança, Portugal; [ppiloto@ipb.pt](mailto:ppiloto@ipb.pt)

<sup>2</sup> LERM, Instituto Politécnico de Bragança, Portugal; [lbarreira@ipb.pt](mailto:lbarreira@ipb.pt)

**PALAVRAS CHAVE:** Biomecânica, salto com contra movimento, CMJ, força propulsiva

**RESUMO:** Neste trabalho é apresentado um estudo experimental de medição da taxa de variação da força propulsiva RFD (“Rate of Force Development”) e o tempo necessário para atingir a fase de início de voo TTT (“Time To Take-off”) de um protocolo de salto com contra movimento (CMJ), utilizando uma população de jovens estudantes do ensino superior, em função do género e da massa de cada indivíduo. Este protocolo será testado em duas condições de movimento para os membros superiores (com e sem balanço), demonstrando que a altura máxima, a potência máxima propulsiva, a velocidade máxima e a força reativa no solo atingem valores superiores no protocolo CMJ com balanço dos membros superiores.

### 1 INTRODUÇÃO

O salto vertical tem sido apresentado na literatura como o principal método de medição da força propulsiva dos membros inferiores para desportistas. É parte integrante de diferentes modalidades como voleibol, andebol, futebol, basquetebol e determinadas provas de atletismo [1,2].

O protocolo do movimento de salto com contra movimento (CMJ) é definido por várias fases, ver Fig. 1.

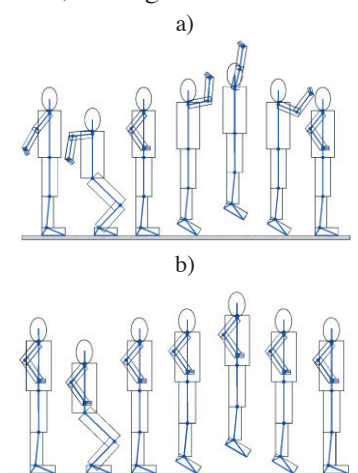


Fig. 1 Salto com contra movimento (CMJ) com (a) e sem (b) rotação dos membros superiores.

O indivíduo inicia o protocolo em posição vertical, executando um primeiro movimento descendente (agachamento) preliminar com flexão dos joelhos, anca e tornozelos. De seguida o indivíduo executa o movimento propulsivo ascendente em contacto com o solo, seguindo-se uma fase de voo, com inversão do movimento em queda livre, até atingir novamente o solo. Este movimento pode ser efetuado com e sem balanço dos membros superiores, ver Fig. 1.

### 2 MÉTODO EXPERIMENTAL

Os ensaios foram realizados num grupo de oito indivíduos (cinco do género feminino e três do género masculino), amadores e sem treino inicial, ver Tab. 1.

Tabela 1 Caracterização da população.

Género [M/F]	Ind. [Nº]	Massa [kg]	Comprimento [m]
F	1	63,0	1,72
F	2	63,5	1,72
F	3	57,0	1,68
F	4	50,2	1,60
F	5	64,0	1,64
M	6	74,4	1,80
M	7	71,2	1,84
M	8	60,7	1,80

Foram realizados 5 ensaios para cada indivíduo, utilizando um acelerómetro colocado na zona pélvica. Este equipamento utiliza uma frequência de aquisição de sinal de 200 [Hz], Myotest [3].

Na execução deste protocolo foram avaliados dois parâmetros (RFD e TTT) relacionados com a fase propulsiva e que resultam da medição da aceleração na zona pélvica.

O tempo necessário para a fase propulsiva (TTT) é definido como a diferença de tempo entre o instante de início da fase propulsiva e o instante correspondente a uma força de reação nula.

A taxa de variação da força propulsiva (RFD) é determinada pelo quociente entre a variação da força propulsiva ( $\Delta F$ ) e o período de tempo correspondente ( $\Delta t$ ) (instantes correspondentes ao valor da força reativa máxima e ao valor da força reativa no início da fase). Este parâmetro foi descrito por Schmidbelicher e definido como a taxa de aumento da força de contração muscular [4].

Na Fig. 2 está representado o primeiro ensaio do indivíduo 1, sendo evidenciados os principais eventos utilizados para determinação destes parâmetros. Na Fig. 3 estão representados quatro fotogramas correspondentes aos instantes representados na Fig. 2.

O parâmetro cinemático da velocidade é obtido por integração. Foi ainda avaliado o desempenho do salto com a medição da altura máxima conseguida para cada indivíduo, em função do género e da massa.

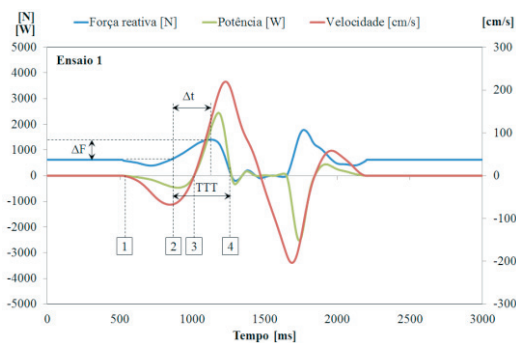


Fig. 2 Variação da força reativa, velocidade da zona pélvica e potência desenvolvida no salto CMJ.

Este parâmetro é determinado por balanço energético e comparado para duas condições de movimento dos membros superiores (com e sem balanço).

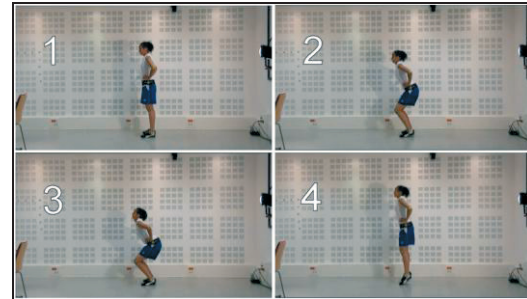


Fig. 3 Fotogramas do indivíduo 3 no movimento de salto CMJ.

### 3 ANÁLISE DINÂMICA

O método da dinâmica inversa foi utilizado para determinação da força reativa do solo. O equilíbrio dinâmico está representado na Fig. 4, para um indivíduo de massa “m”.

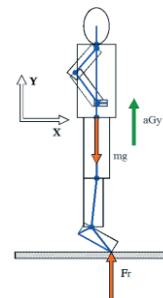


Fig. 4. Medição da força de contacto com o solo.

A determinação da força reativa pressupõe o conhecimento da aceleração do centro de gravidade ( $a_{Gy}$ ) e a aplicação da Eq. 1.

$$F_r - mg = ma_{Gy} \quad (1)$$

### 4 RESULTADOS DO SALTO CMJ SEM BALANÇO DOS MEMBROS SUPERIORES

Na Fig. 5 estão representados os resultados da variação da força reativa para todos os ensaios CMJ realizados nos 8 indivíduos, sem utilização do movimento de balanço dos membros superiores.

A forma de variação da força reativa é semelhante para todos os indivíduos e para todos os ensaios, sendo a repetibilidade dos resultados mais evidenciada para alguns deles.

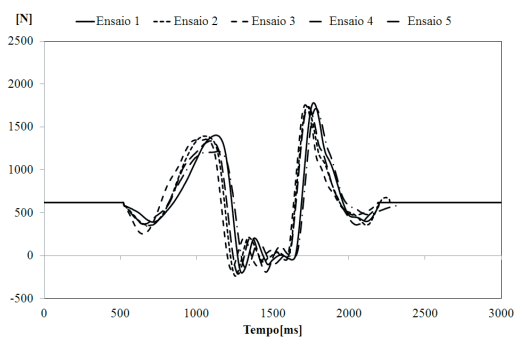


Fig. 5a Variação da força reativa no indivíduo 1.

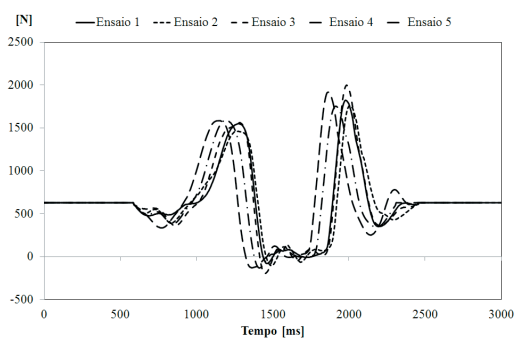


Fig. 5b Variação da força reativa no indivíduo 2.

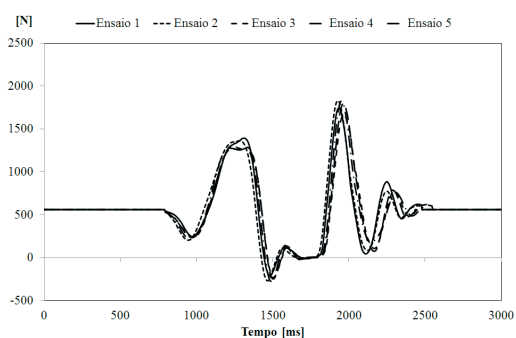


Fig. 5c Variação da força reativa no indivíduo 3.

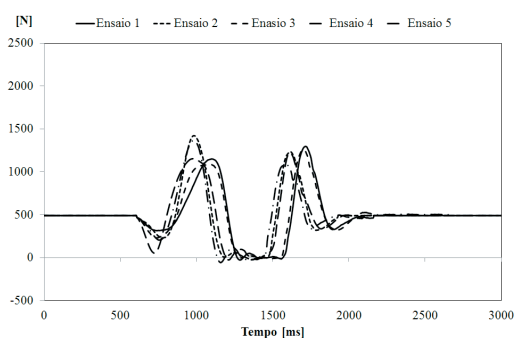


Fig. 5d Variação da força reativa no indivíduo 4.

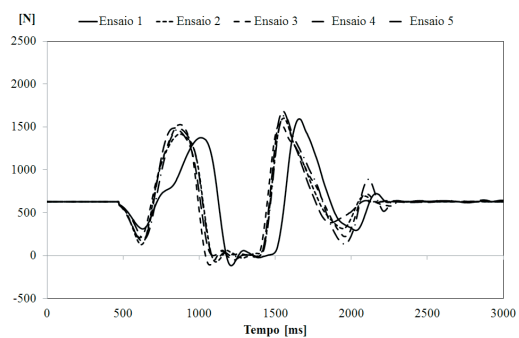


Fig. 5e Variação da força reativa no indivíduo 5.

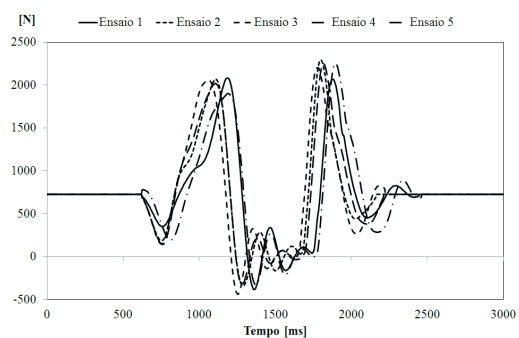


Fig. 5f Variação da força reativa no indivíduo 6.

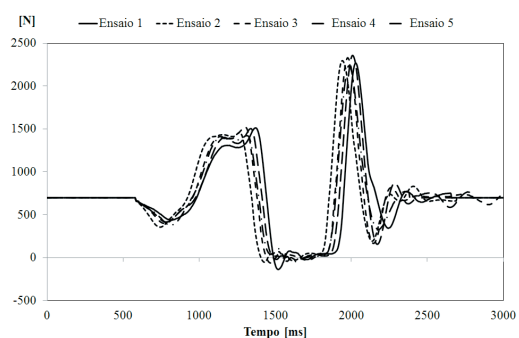


Fig. 5g Variação da força reativa no indivíduo 7.

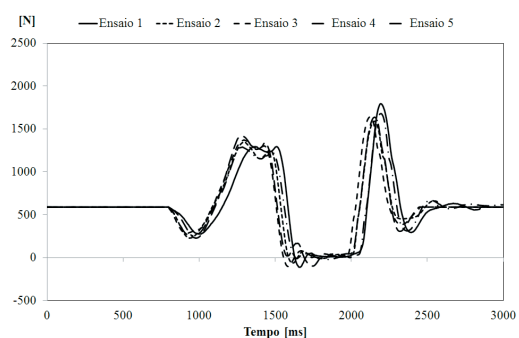


Fig. 5h Variação da força reativa no indivíduo 8.

Os indivíduos 7 e 8 apresentam um amortecimento reativo no primeiro máximo da força reativa. Este acontecimento foi verificado em todos os ensaios.

Na Fig. 6 é apresentada a avaliação estatística descritiva da taxa de variação da força propulsiva (RFD) em função da massa de cada indivíduo. Para cada indivíduo é apresentado o valor mínimo e o valor máximo, para além do 1º, 2º e 3º quartil.

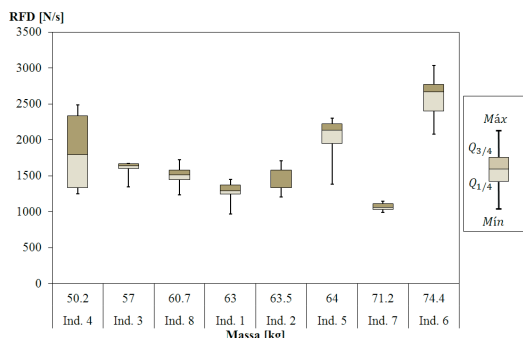


Fig. 6 Variação da RFD em função da massa de cada indivíduo.

Não se verifica uma correlação forte e evidente entre o parâmetro em análise e o valor da massa de cada indivíduo.

Na Fig. 7 é apresentada a avaliação estatística descritiva do tempo necessário para a fase propulsiva (TTT), em função da massa de cada indivíduo.

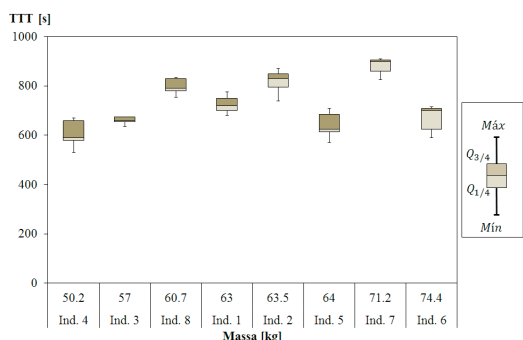


Fig. 7 Variação do TTT em função da massa de cada indivíduo.

Os resultados da Fig. 8 representam o valor da potência máxima desenvolvida na fase propulsiva. Verifica-se a existência de uma correlação entre este valor e o valor da massa do indivíduo.

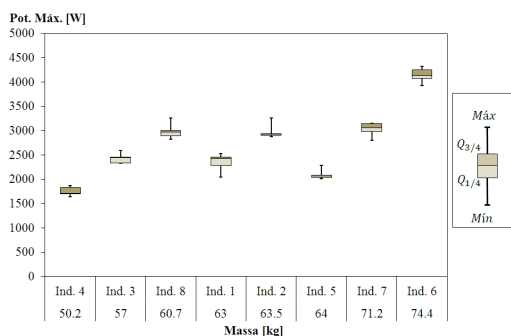


Fig. 8 Variação da potência máxima da fase propulsiva em função da massa de cada indivíduo.

Os resultados apresentam pequena dispersão para os 5 ensaios realizados para cada indivíduo.

Foi estudada a variação da potência máxima desenvolvida em função do género dos indivíduos (M- masculino e F – feminino). Na Fig. 9 é apresentado o valor máximo e o valor médio da potência máxima para o conjunto dos cinco ensaios de cada indivíduo.

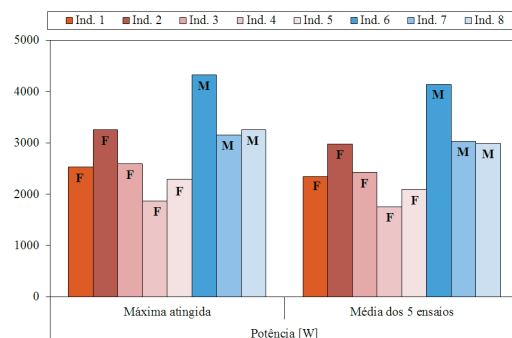


Fig. 9 Variação da potência máxima da fase propulsiva em função do género dos indivíduos.

Verifica-se que os indivíduos do género masculino desenvolveram maior potência máxima média e também foram responsáveis pelos respetivos valores máximos.

Na Fig. 10 estão representados os valores da energia consumida durante a fase propulsiva. Verifica-se a existência de uma correlação entre este valor e o valor da massa do indivíduo. Estes resultados também apresentam pequena dispersão.

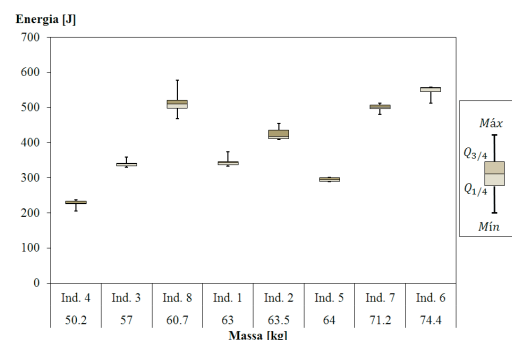


Fig. 10 Energia consumida na fase propulsiva em função da massa de cada indivíduo.

Na Fig. 11 está representada a variação da velocidade máxima da fase propulsiva em função da massa de cada indivíduo. Os

indivíduos com maior velocidade de descolagem atingem, naturalmente, maior valor de altura máxima.

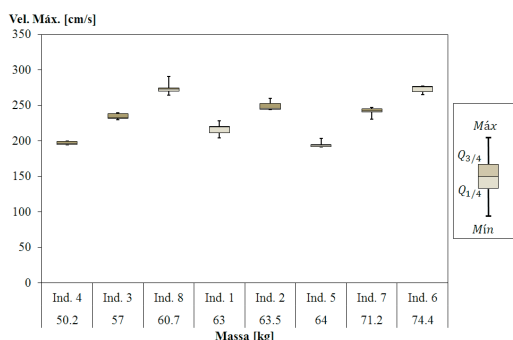


Fig. 11 Velocidade máxima da fase propulsiva em função da massa de cada indivíduo.

Na Fig. 12 estão representados os valores da altura máxima atingida no conjunto dos cinco ensaios para cada indivíduo. A forma da evolução do gráfico é semelhante à forma da evolução dos gráficos da Figs. 8 e 10 e 11.

Foi estudada a variação da altura máxima desenvolvida em função do género dos indivíduos (M- masculino e F – feminino).

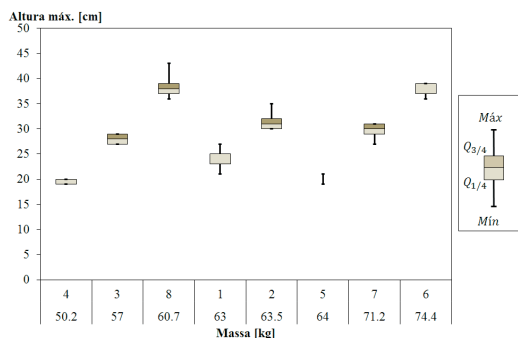


Fig. 12 Variação da altura máxima, em função da massa de cada indivíduo.

Na Fig. 13 é apresentado o valor máximo da altura máxima atingida nos cinco ensaios e o valor médio deste parâmetro para o conjunto dos ensaios de cada indivíduo. Apenas um indivíduo do género feminino (2) conseguiu apresentar um valor de altura máxima superior a um indivíduo do género masculino. Todos os restantes casos do género feminino apresentam valores inferiores.

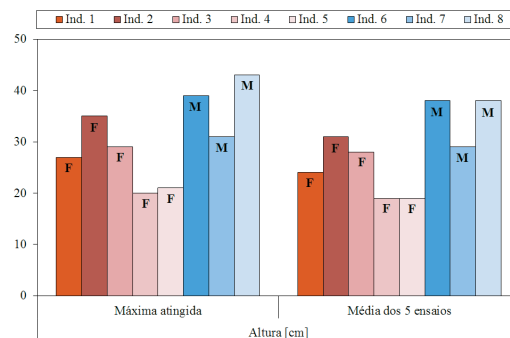


Fig. 13 Variação da altura máxima no movimento CMJ em função do género dos indivíduos.

### 5 COMPARAÇÃO DO SALTO CMJ COM E SEM BALANÇO DOS MEMBROS SUPERIORES

O protocolo CMJ foi testado para duas condições de movimento dos membros superiores (com e sem balanço), utilizando o indivíduo nº1 para uma nova série de ensaios.

Na Fig. 14 é apresentada a comparação da variação da força reativa, com e sem movimento de balanço dos membros superiores.

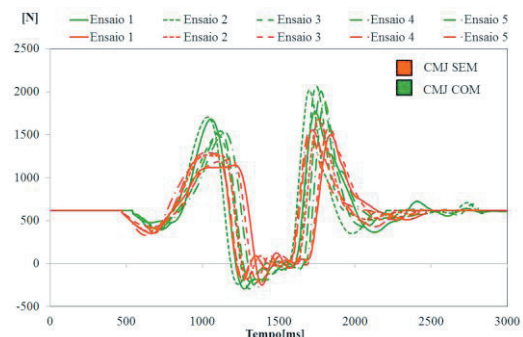


Fig. 14 Variação da força reativa, com e sem movimentos de balanço dos membros superiores, no indivíduo1.

O valor da força reativa aumenta significativamente com a utilização do movimento de balanço dos membros superiores.

Foi efetuado o mesmo tratamento estatístico descritivo da taxa de variação da força propulsiva (RFD) para as duas condições de movimento de balanço dos membros superiores. A taxa de variação da força propulsiva é superior para o caso de balanço dos membros superiores. Estes

resultados estão em concordância com as conclusões do estudo apresentado em [6]. Foi feito o tratamento estatístico descritivo do tempo para a fase propulsiva (TTT) para as duas condições de movimento de balanço dos membros superiores. O tempo necessário para a fase propulsiva é inferior para o caso do protocolo CMJ com balanço dos membros superiores. Foi efetuado o tratamento estatístico descritivo para os outros parâmetros. O valor médio da altura máxima, da potência máxima e da velocidade máxima aumentam significativamente com a utilização do movimento de balanço dos membros superiores. A variação relativa entre estes parâmetros foi de 45%, 40% e 20%, respetivamente, ver Tab. 2.

Tabela 2 Comparação do valor médio dos 5 ensaios, com e sem balanço dos membros superiores.

Parâmetro (valores máximos)	Sem balanço	Com balanço	Varição relativa
Altura [cm]	22	32	45%
Potência [W]	2150	3014	40%
Velocidade [cm/s]	210.8	253.2	20%

Estes resultados estão de acordo com os resultados de investigação de Everett *et al.* [7].

## 5 CONCLUSÕES

O estudo biomecânico do salto com contra movimento foi efetuado numa população de oito indivíduos, utilizando o protocolo CMJ sem movimento de balanço dos membros superiores. Neste estudo foi avaliada a influência da massa de cada indivíduo em vários parâmetros cinemáticos (RFD - de variação da força propulsiva, TTT - tempo necessário para a fase propulsiva, potência máxima, energia gasta na fase propulsiva, velocidade máxima e altura máxima). O perfil da aceleração é fundamental para garantir uma velocidade terminal da fase propulsiva elevada. Uma velocidade elevada proporciona maior altura máxima neste protocolo.

Verifica-se ainda a existência de uma correlação entre o parâmetro TTT e o valor da altura máxima e uma inexistência de

correlação entre RFD e o valor da altura máxima, confirmando as conclusões de outros investigadores [4].

Neste estudo foi avaliada a influência do género de cada indivíduo na potência máxima e na altura máxima. As diferenças encontradas parecem depender da população em estudo.

Para a população em estudo, o parâmetro TTT parece aumentar com a massa dos indivíduos, não se verificando influência significativa da massa no parâmetro RFD. Este estudo avaliou ainda o efeito do movimento dos membros superiores no desempenho do protocolo CMJ. Verificou-se um aumento de 20% na velocidade de descolagem e um conseqüente aumento de 45 % no valor da altura máxima. Estes resultados confirmam as conclusões de outros autores [5, 6, 7].

## AGRADECIMENTOS

Os autores agradecem a colaboração dos indivíduos desta população.

## REFERÊNCIAS

- [1] Ham DJ, Knez WL, Young WB. A deterministic model of the vertical jump: implications for training. *J Strength Cond Res*, 21, pp: 967-972, 2007.
- [2] Feltner ME, Bishop EJ, Perez CM. Segmental and kinetic contributions in vertical jumps performed with and without an arm swing. *Res Q Exerc Sport*, 75, pp: 216- 230, 2004.
- [3] B. Jidovtseff, J.-M. Crielaard, S. Cauchy, J.-L. Croisier; "Validité et reproductibilité d'un dynamomètre inertiel basé sur l'accélérométrie"; *Science and Sports*, vol. 23, pp 94-97, 2008.
- [4] William Ebben, Eamonn Flanagan, Randall Jensen; "Gender similarities in rate of force development and time to take off during the countermovement jump"; *Journal of Exercise Physiology online (JEPonline)* (ISSN 1097-9751), Volume 10, Number 6, December 2007.
- [5] Blake M. Ashby, Jean H. Heegaard; "Role of arm motion in the standing long jump"; *Journal of Biomechanics* vol. 35, pp 1631-1637, 2002.
- [6] Mikiko Hara, Akira Shibayama, Daisuke Takeshita, Dean C. Hay, Senshi Fukushima; "A comparison of the mechanical effect of arm swing and countermovement on the lower extremities in vertical jumping"; *Human Movement Science*, Volume 27, Issue 4, pp: 636-648, ISSN 0167-9457, August 2008.
- [7] Harman EA, Rosenstein MT, Frykman PN, Rosenstein RM; "The effects of arms and countermovement on vertical jumping"; *Medicine and Science in Sports and Exercise*, vol. 22, number 6, pp:825-833, Dec 1990.